

1/21

Fig. 1A

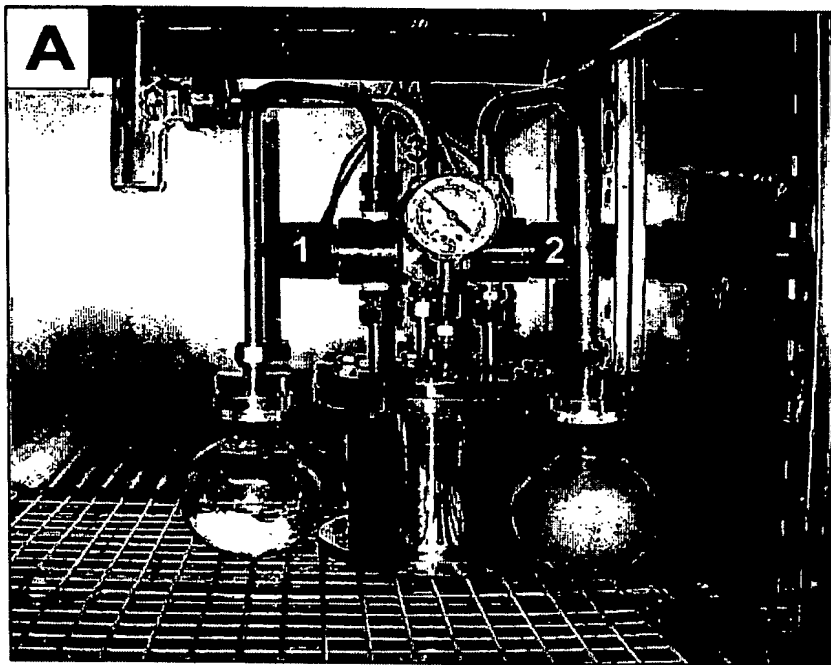


Fig. 1B

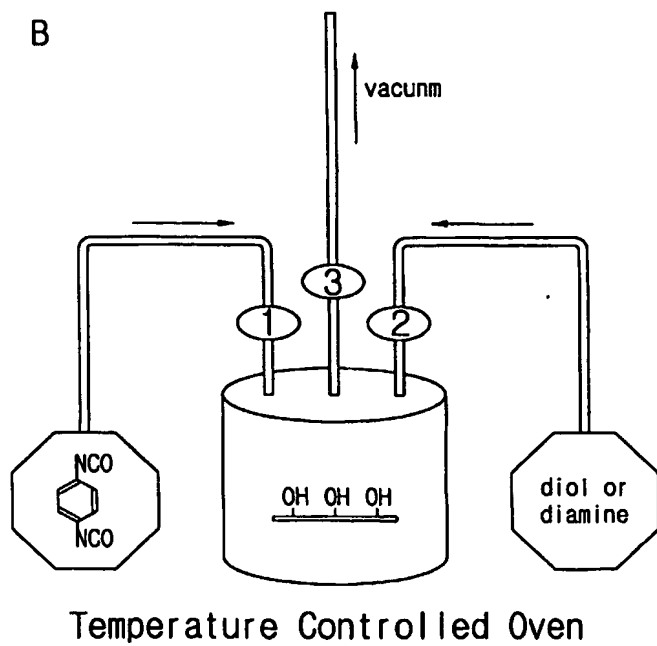
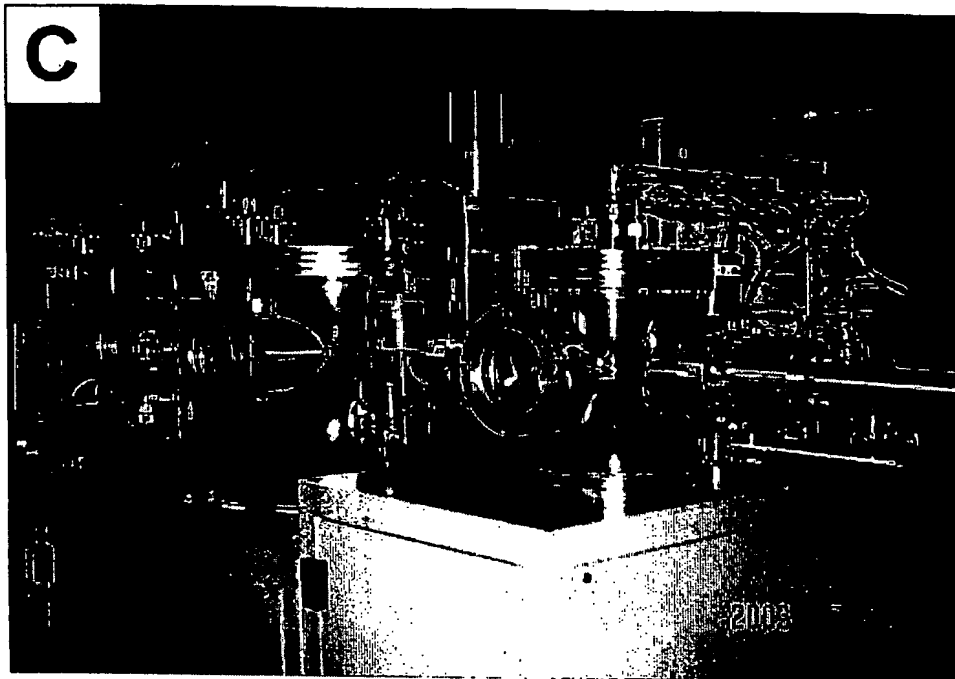


Fig. 1C



3/21

Fig. 2A

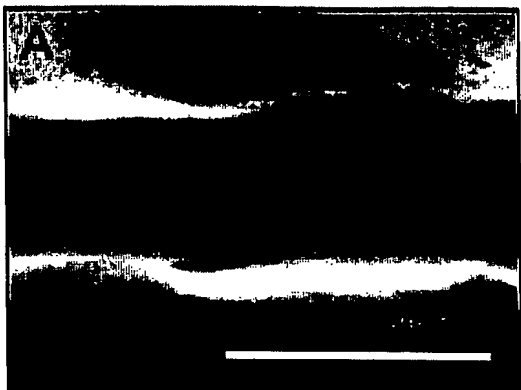
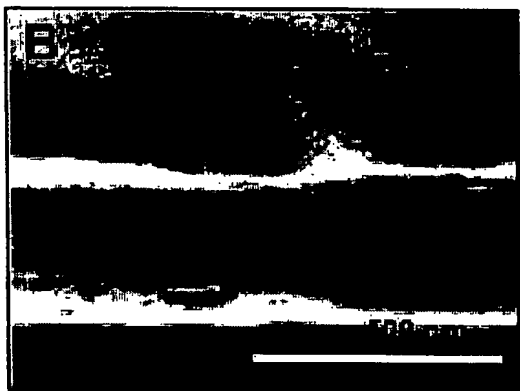


Fig. 2B



2005012177

4/21

Fig. 2C

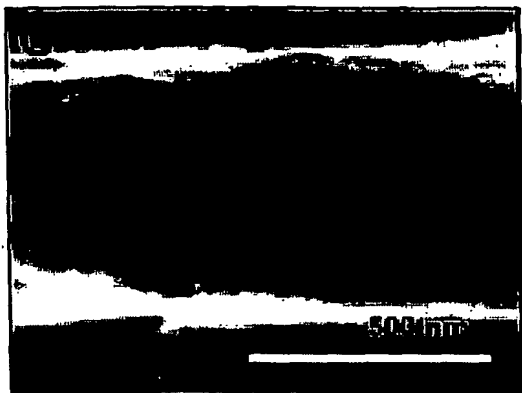
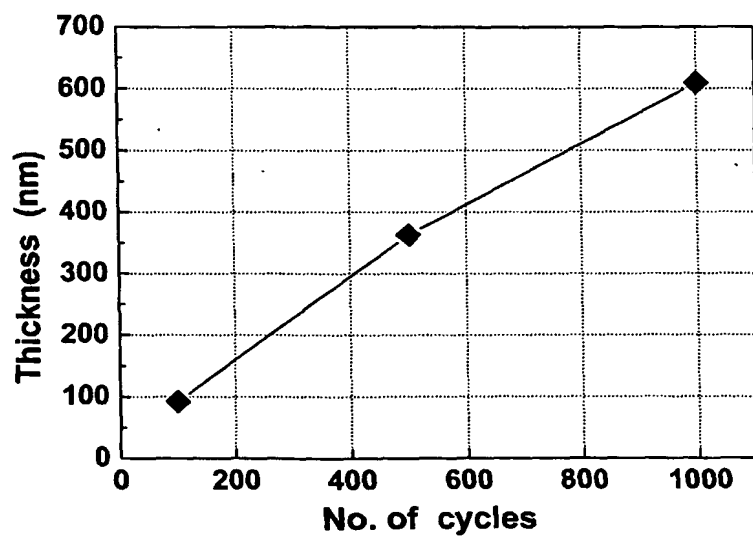


Fig. 2D



5/21

Fig. 3A

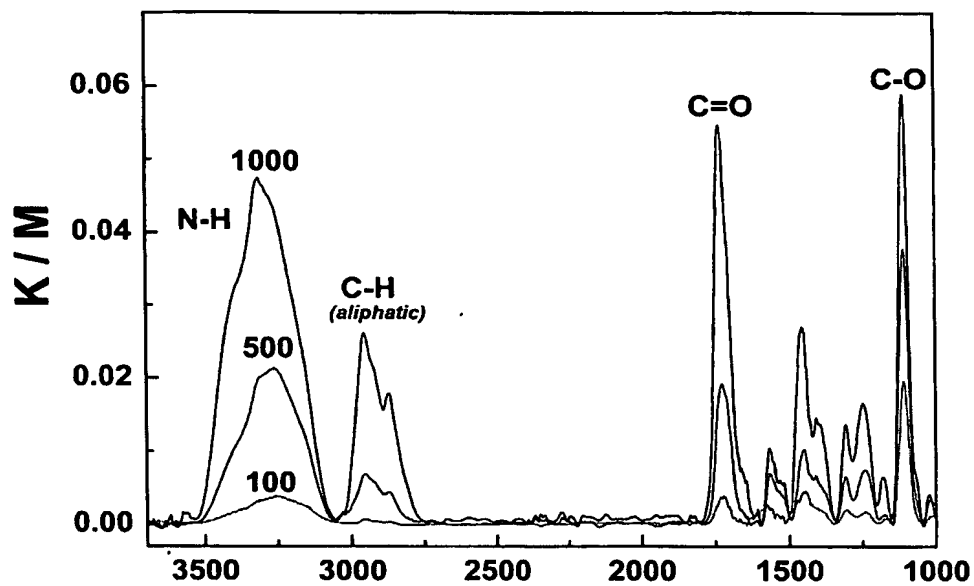
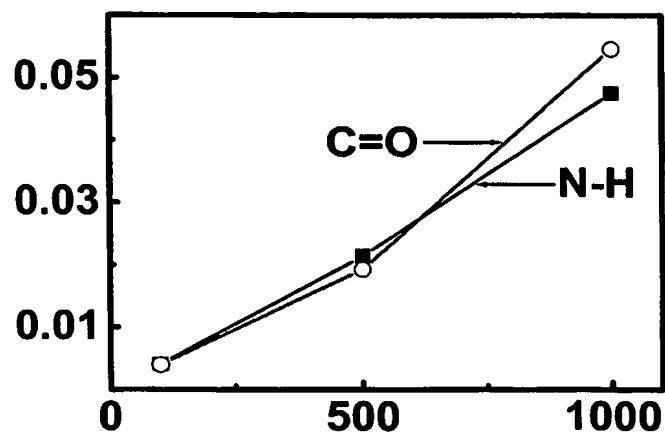
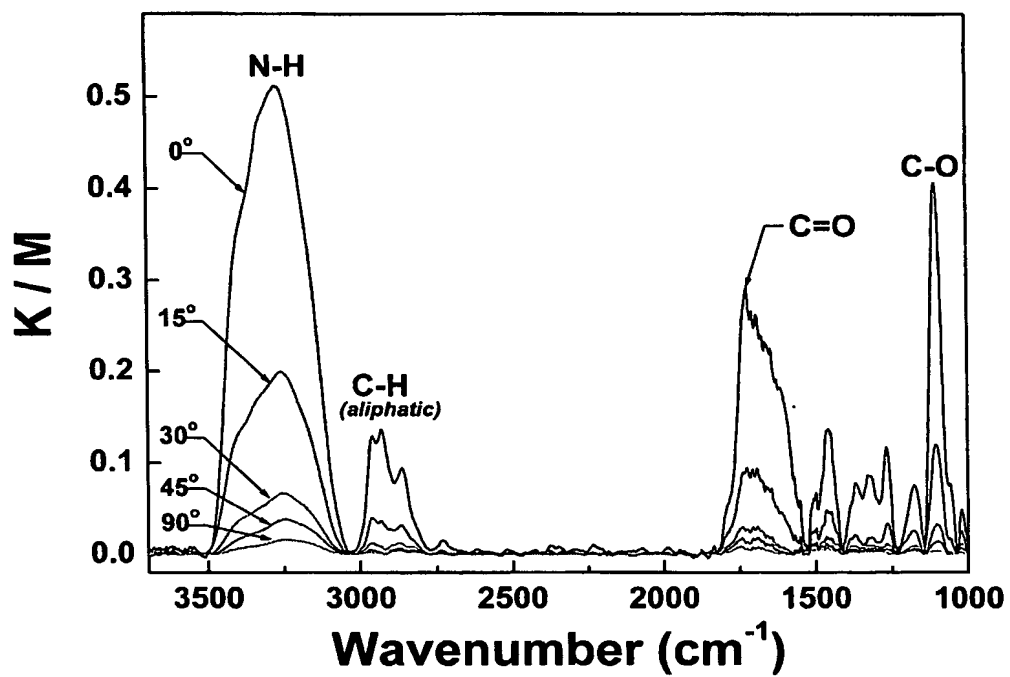


Fig. 3B



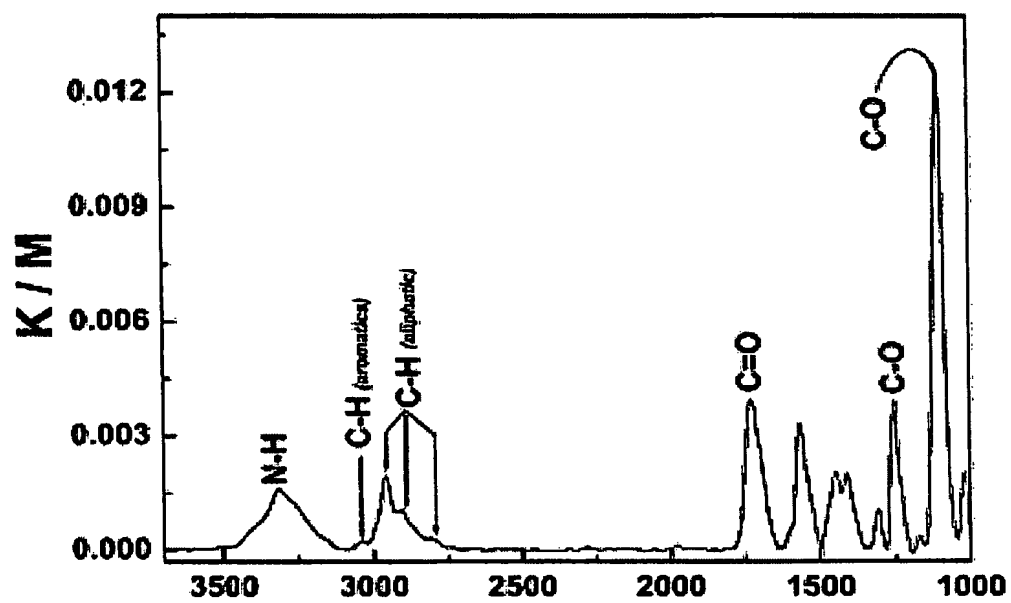
6/21

Fig. 3C



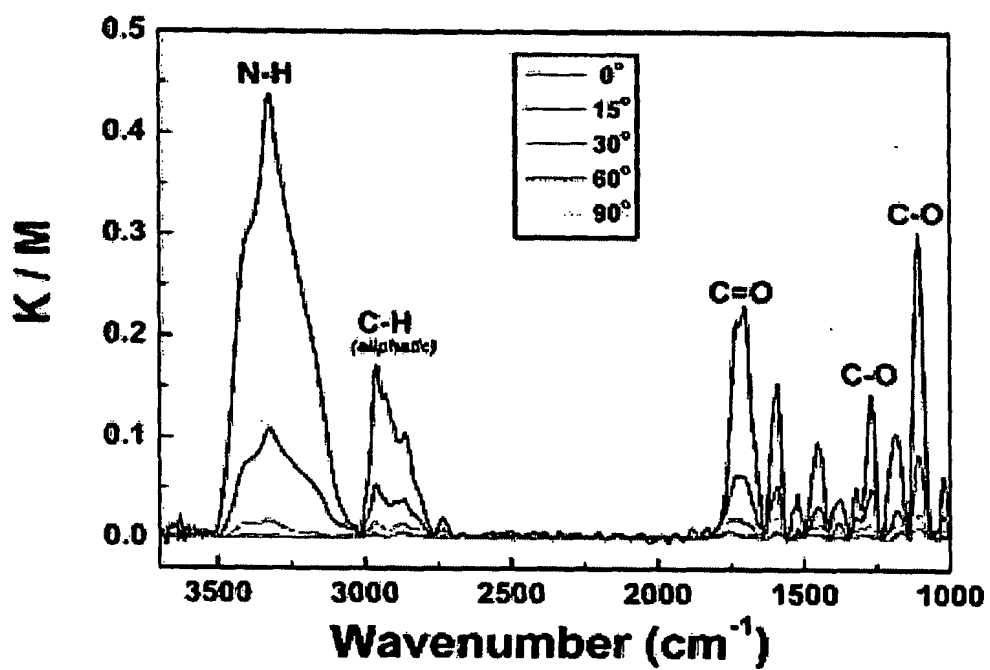
7/21

Fig. 4A



8/21

Fig. 4B



9/21

Fig. 5A

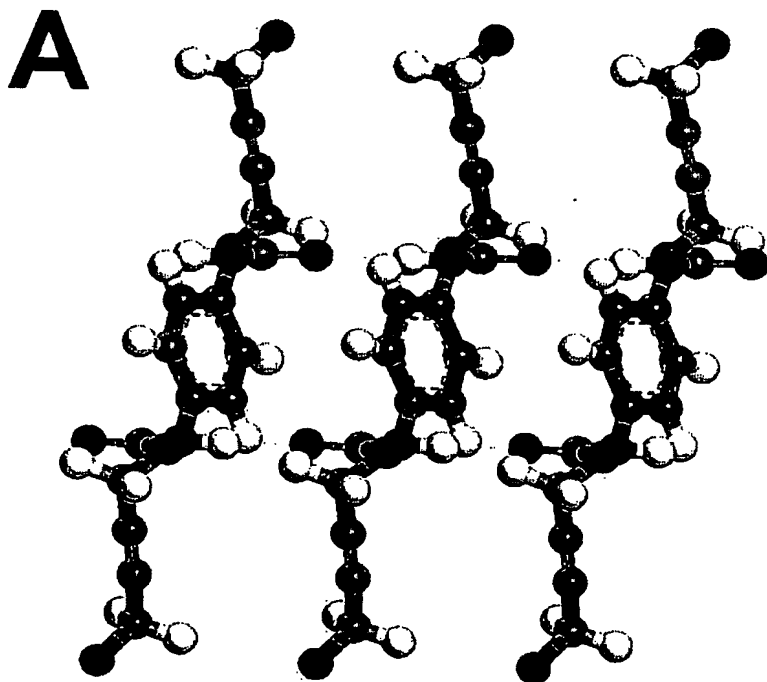
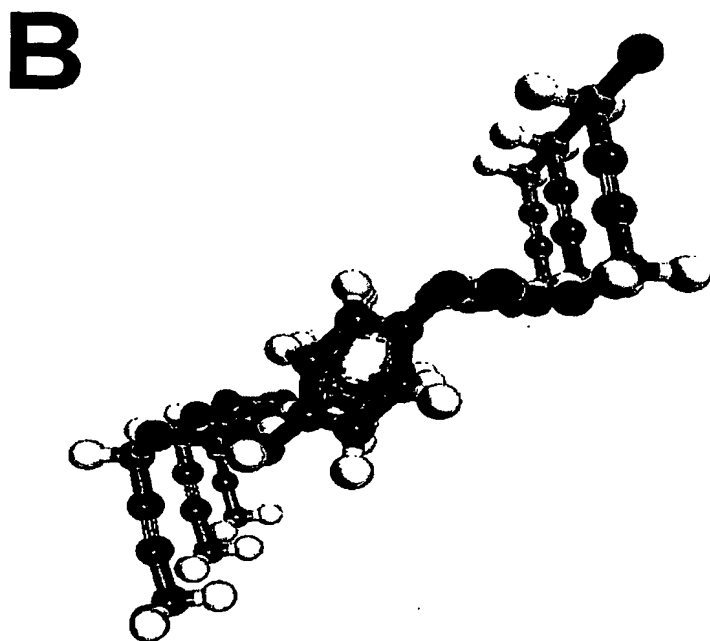
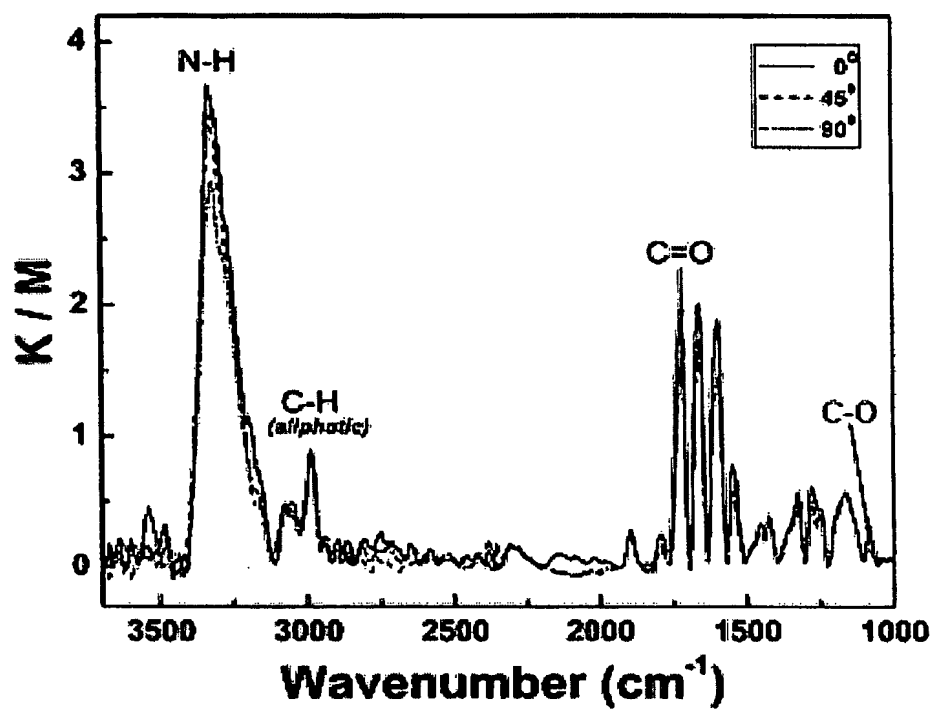


Fig. 5B



10/21

Fig. 6



11/21

Fig. 7A

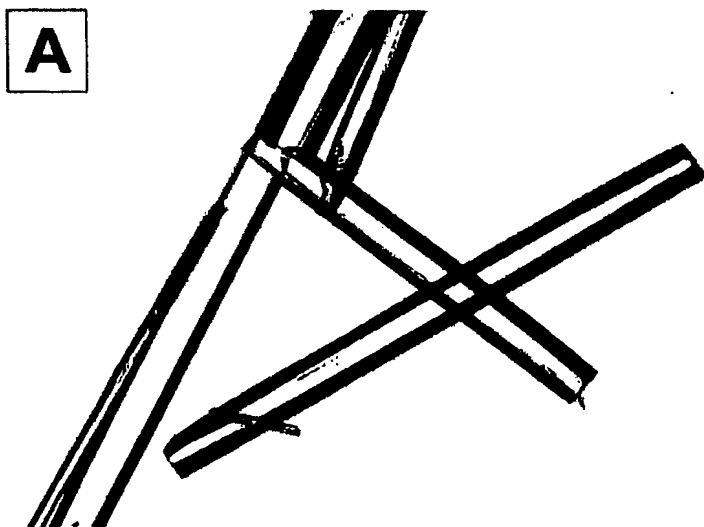


Fig. 7B



11/21

12/21

Fig. 8A

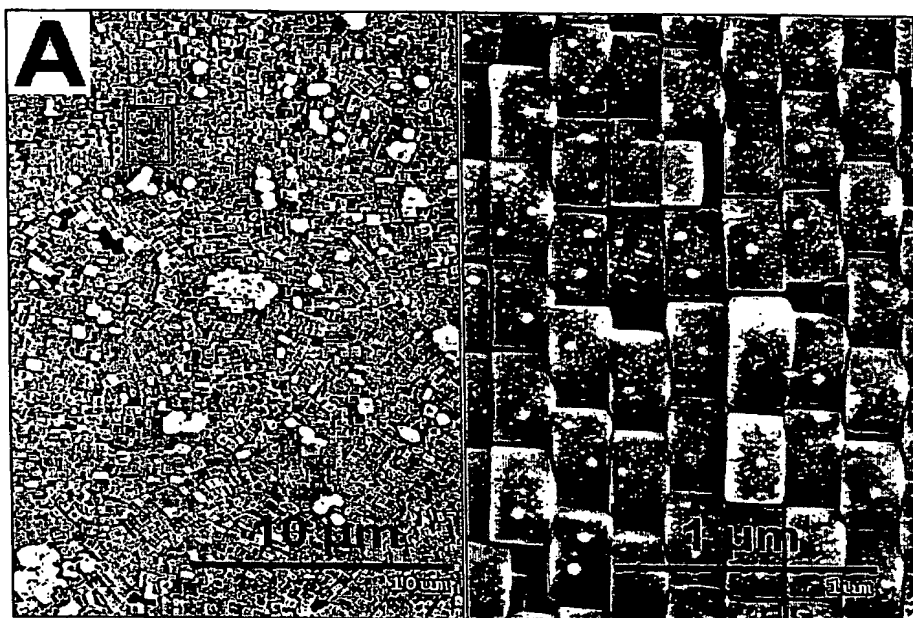


Fig. 8B



13/21

Fig. 8C

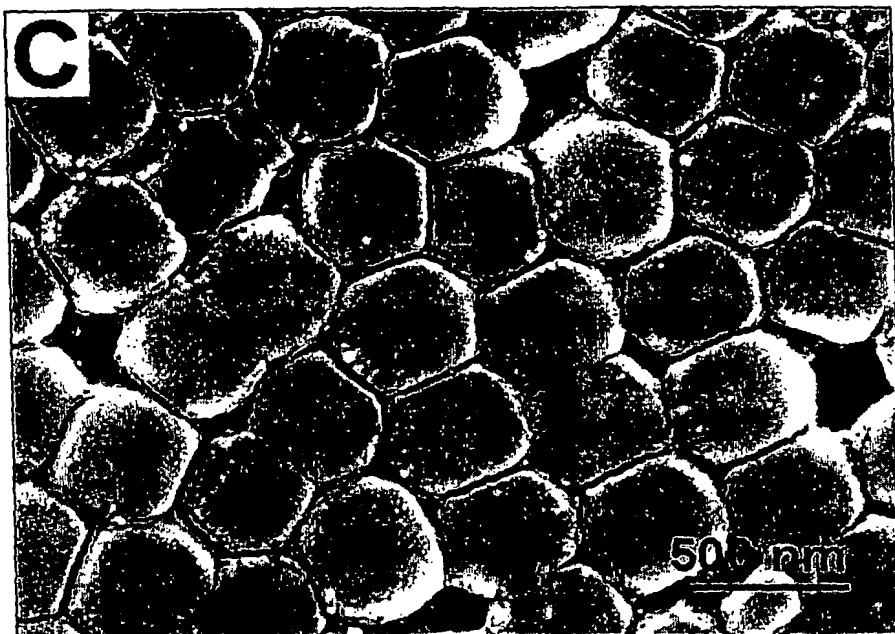
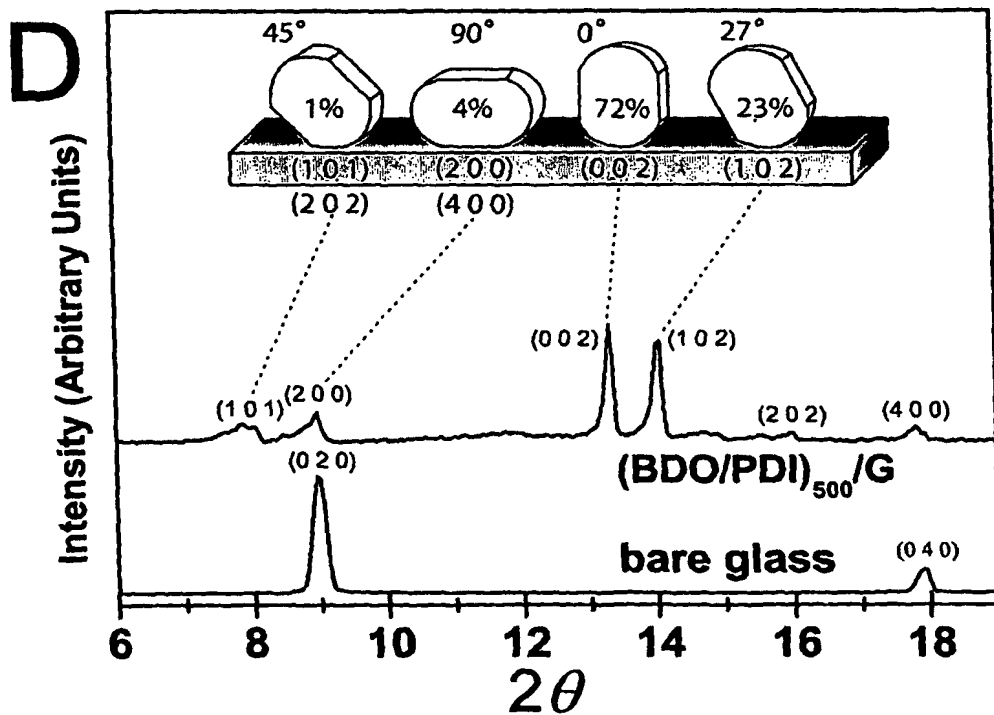


Fig. 8D



14/21

Fig. 8E

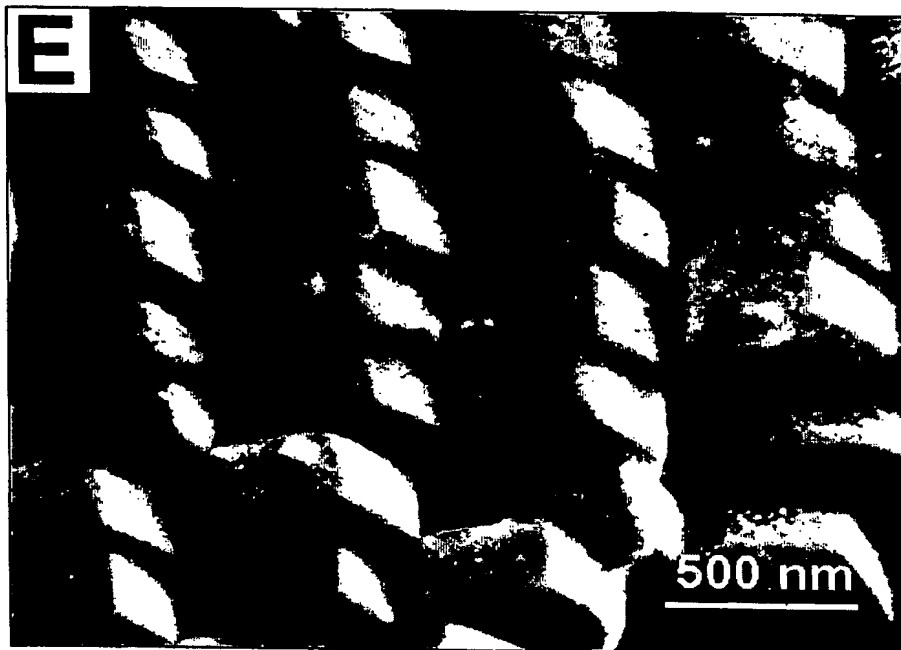
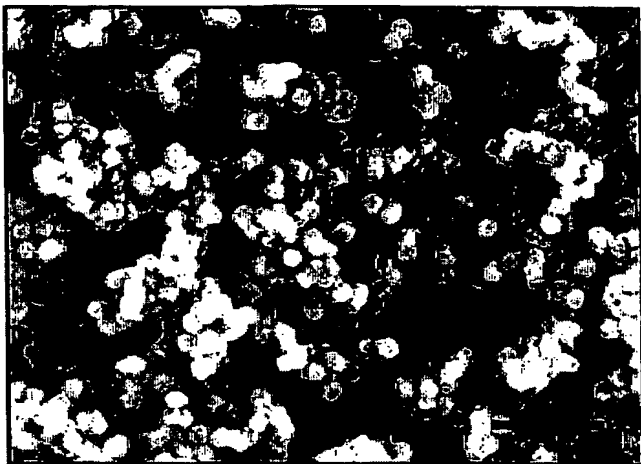


Fig. 8F



15/21

Fig. 9



2005012177

16/21

Fig. 10A

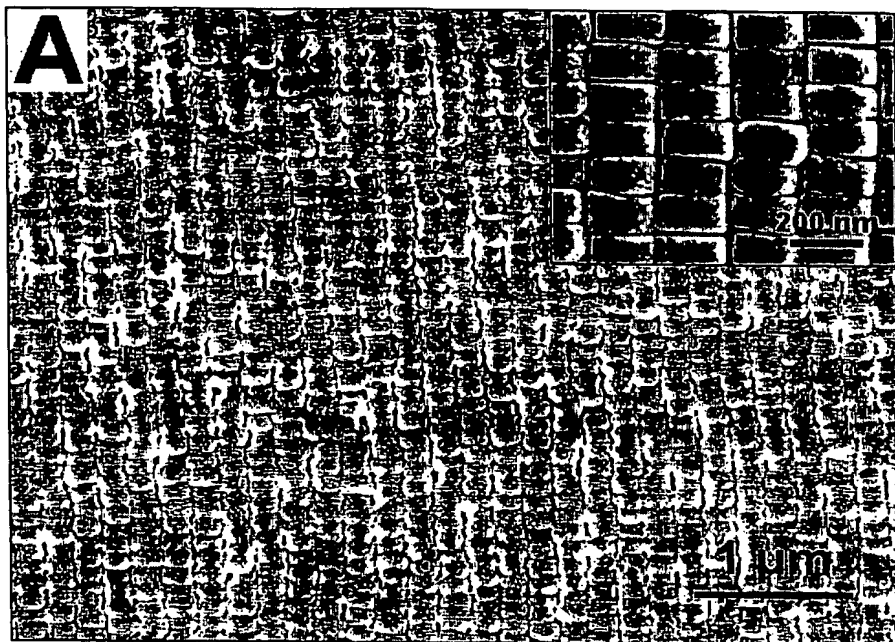
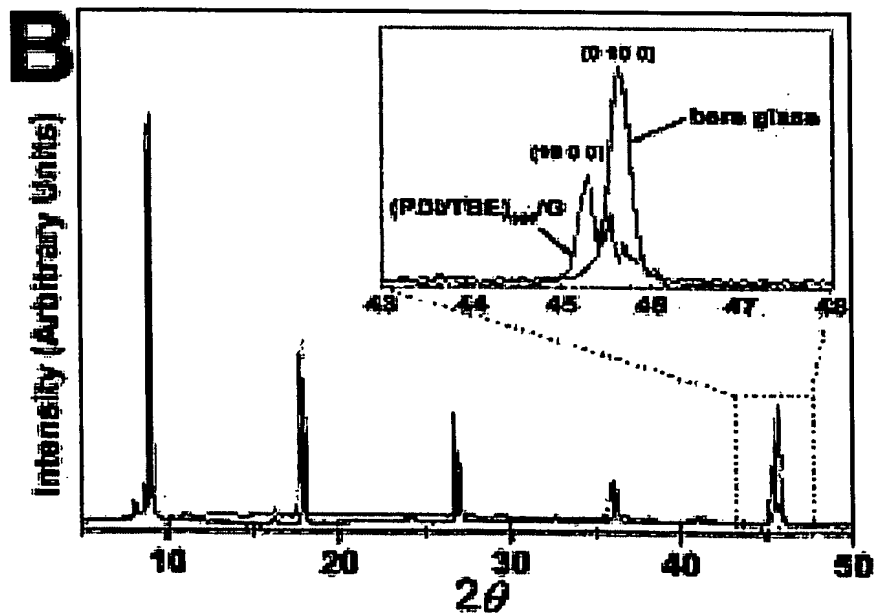
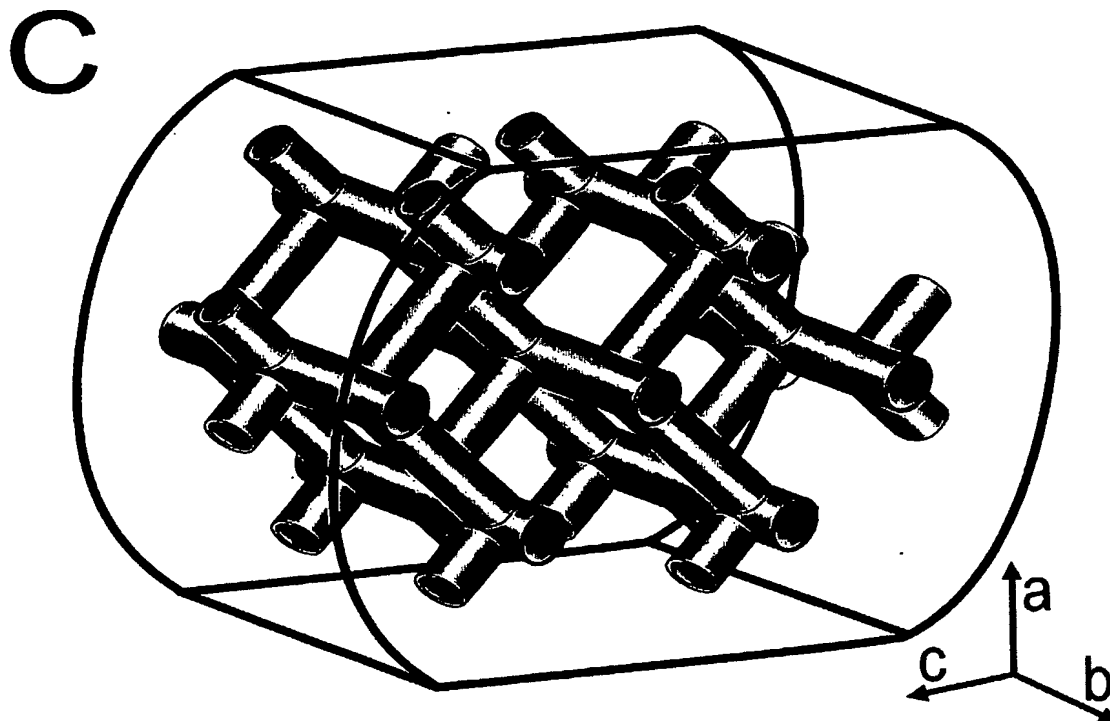


Fig. 10B



17/21

Fig. 10C



18/21

Fig. 11A

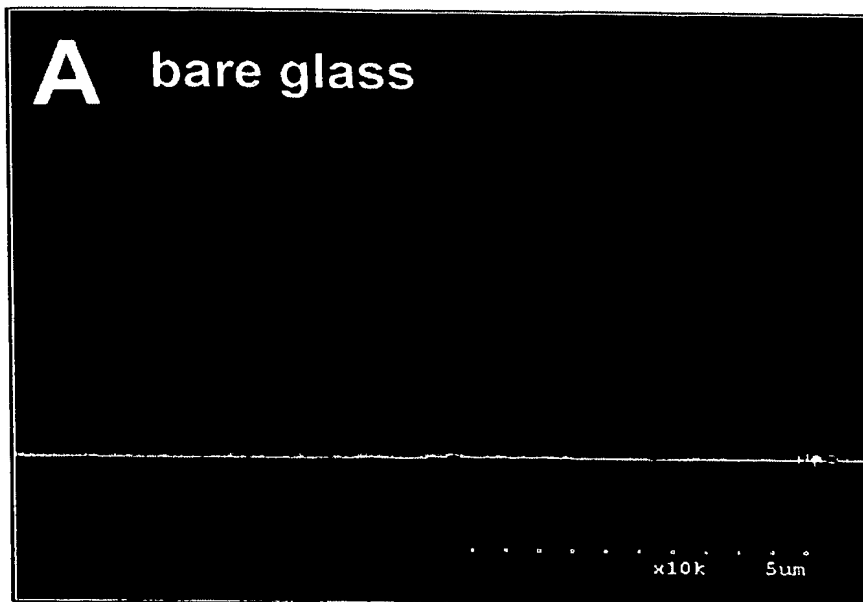
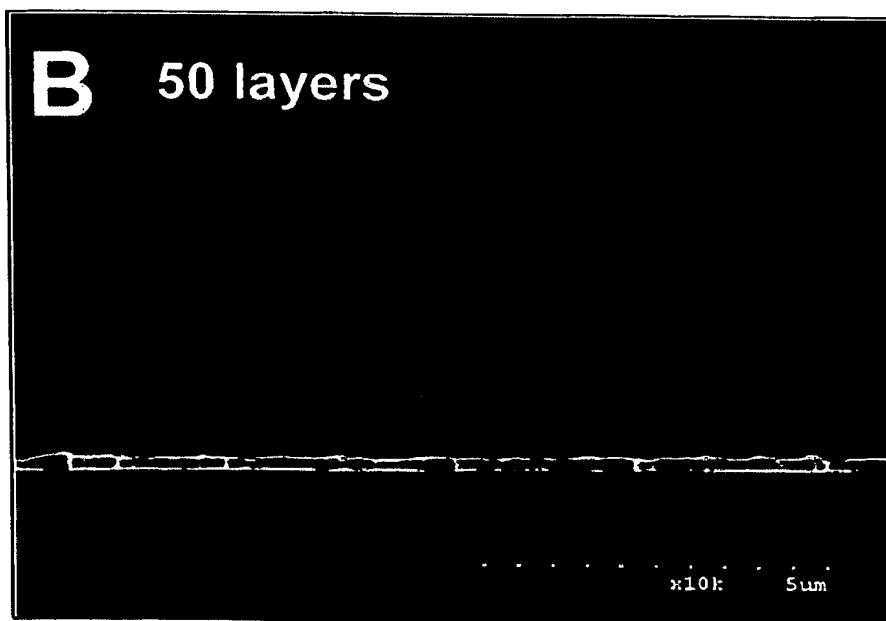


Fig. 11B



19/21

Fig. 11C

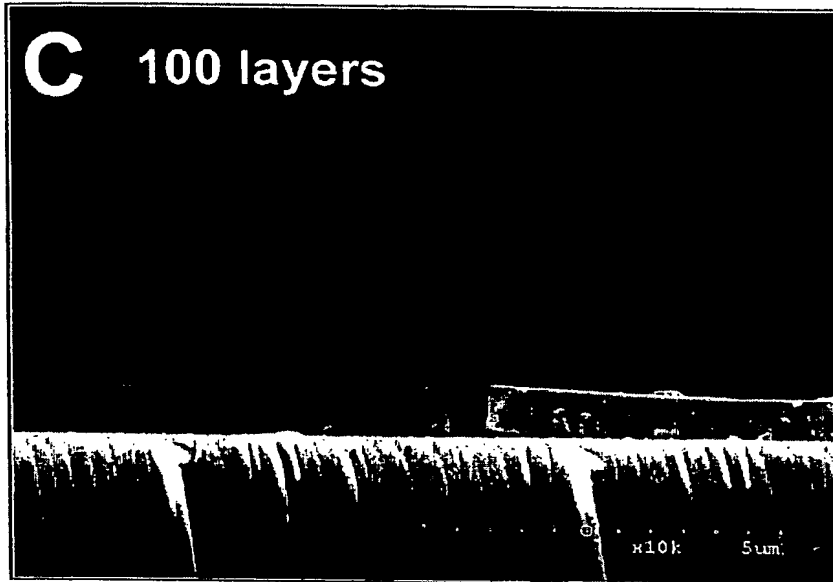
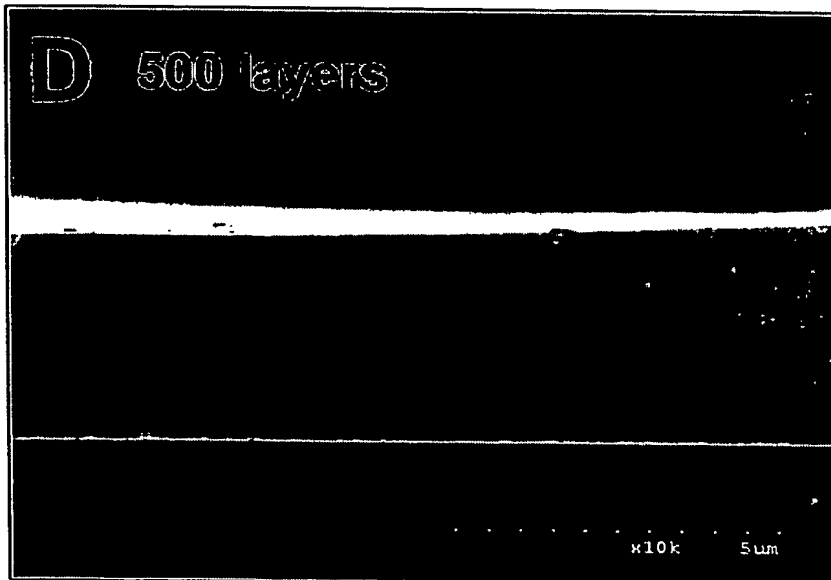


Fig. 11D



20/21

Fig. 12A

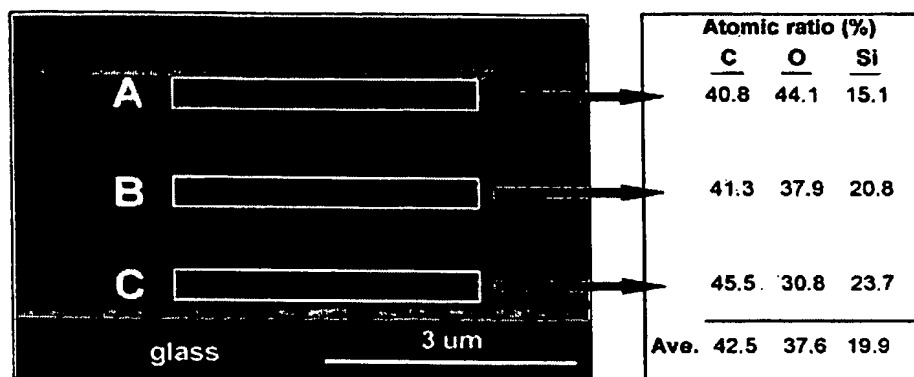
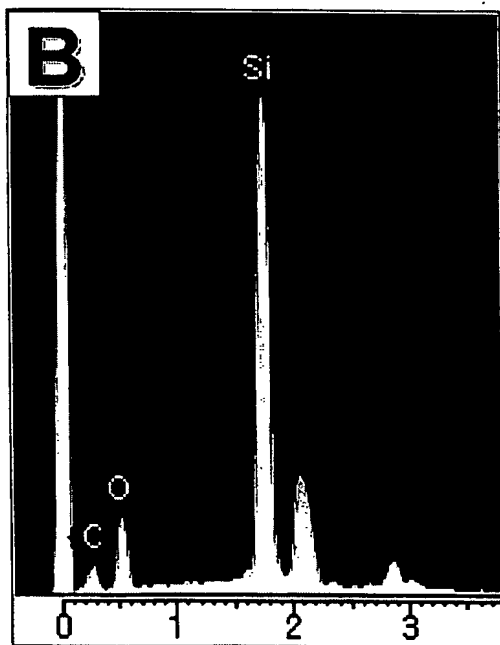


Fig. 12B



21/21

Fig. 12C

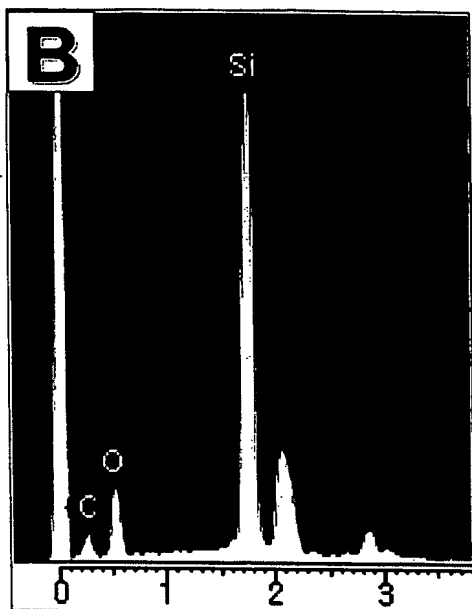


Fig. 12D

